

Starkniederschlagshöhen und -spenden gemäß KOSTRA-DWD-2020

Rasterfeld 130116

(Zeile 130, Spalte 116)

Regenspende und Bemessungsniederschlagswerte in Abhängigkeit von Wiederkehrzeit T und Dauerstufe D

| Dauerstufe D | | Wiederkehrzeit T | | | | | | | | | | | | | | | | | |
|--------------|-----|------------------|------------|------|------------|------|------------|------|------------|-------|------------|-------|------------|-------|------------|-------|------------|-------|------------|
| | | 1 a | | 2 a | | 3 a | | 5 a | | 10 a | | 20 a | | 30 a | | 50 a | | 100 a | |
| min | Std | mm | l / (s ha) | mm | l / (s ha) | mm | l / (s ha) | mm | l / (s ha) | mm | l / (s ha) | mm | l / (s ha) | mm | l / (s ha) | mm | l / (s ha) | mm | l / (s ha) |
| 5 | | 6,3 | 210,0 | 7,7 | 256,7 | 8,5 | 283,3 | 9,7 | 323,3 | 11,3 | 376,7 | 13,0 | 433,3 | 14,2 | 473,3 | 15,6 | 520,0 | 17,7 | 590,0 |
| 10 | | 8,1 | 135,0 | 10,0 | 166,7 | 11,1 | 185,0 | 12,6 | 210,0 | 14,7 | 245,0 | 17,0 | 283,3 | 18,4 | 306,7 | 20,3 | 338,3 | 23,0 | 383,3 |
| 15 | | 9,3 | 103,3 | 11,4 | 126,7 | 12,7 | 141,1 | 14,5 | 161,1 | 16,9 | 187,8 | 19,5 | 216,7 | 21,1 | 234,4 | 23,3 | 258,9 | 26,4 | 293,3 |
| 20 | | 10,3 | 85,8 | 12,6 | 105,0 | 14,0 | 116,7 | 15,9 | 132,5 | 18,6 | 155,0 | 21,4 | 178,3 | 23,2 | 193,3 | 25,6 | 213,3 | 29,0 | 241,7 |
| 30 | | 11,6 | 64,4 | 14,3 | 79,4 | 15,9 | 88,3 | 18,0 | 100,0 | 21,1 | 117,2 | 24,3 | 135,0 | 26,3 | 146,1 | 29,1 | 161,7 | 33,0 | 183,3 |
| 45 | | 13,2 | 48,9 | 16,1 | 59,6 | 18,0 | 66,7 | 20,4 | 75,6 | 23,9 | 88,5 | 27,4 | 101,5 | 29,8 | 110,4 | 32,9 | 121,9 | 37,3 | 138,1 |
| 60 | 1 | 14,3 | 39,7 | 17,6 | 48,9 | 19,6 | 54,4 | 22,2 | 61,7 | 26,0 | 72,2 | 29,9 | 83,1 | 32,4 | 90,0 | 35,8 | 99,4 | 40,6 | 112,8 |
| 90 | 1,5 | 16,1 | 29,8 | 19,8 | 36,7 | 22,0 | 40,7 | 25,0 | 46,3 | 29,3 | 54,3 | 33,7 | 62,4 | 36,5 | 67,6 | 40,3 | 74,6 | 45,7 | 84,6 |
| 120 | 2 | 17,6 | 24,4 | 21,5 | 29,9 | 24,0 | 33,3 | 27,2 | 37,8 | 31,8 | 44,2 | 36,6 | 50,8 | 39,7 | 55,1 | 43,8 | 60,8 | 49,7 | 69,0 |
| 180 | 3 | 19,7 | 18,2 | 24,2 | 22,4 | 26,9 | 24,9 | 30,5 | 28,2 | 35,8 | 33,1 | 41,1 | 38,1 | 44,6 | 41,3 | 49,2 | 45,6 | 55,9 | 51,8 |
| 240 | 4 | 21,4 | 14,9 | 26,2 | 18,2 | 29,2 | 20,3 | 33,2 | 23,1 | 38,8 | 26,9 | 44,7 | 31,0 | 48,5 | 33,7 | 53,5 | 37,2 | 60,7 | 42,2 |
| 360 | 6 | 24,1 | 11,2 | 29,5 | 13,7 | 32,8 | 15,2 | 37,2 | 17,2 | 43,6 | 20,2 | 50,1 | 23,2 | 54,4 | 25,2 | 60,0 | 27,8 | 68,1 | 31,5 |
| 540 | 9 | 27,0 | 8,3 | 33,1 | 10,2 | 36,8 | 11,4 | 41,8 | 12,9 | 48,9 | 15,1 | 56,3 | 17,4 | 61,1 | 18,9 | 67,4 | 20,8 | 76,4 | 23,6 |
| 720 | 12 | 29,3 | 6,8 | 35,9 | 8,3 | 40,0 | 9,3 | 45,4 | 10,5 | 53,1 | 12,3 | 61,1 | 14,1 | 66,3 | 15,3 | 73,1 | 16,9 | 82,9 | 19,2 |
| 1080 | 18 | 32,9 | 5,1 | 40,3 | 6,2 | 44,9 | 6,9 | 50,9 | 7,9 | 59,6 | 9,2 | 68,5 | 10,6 | 74,4 | 11,5 | 82,1 | 12,7 | 93,1 | 14,4 |
| 1440 | 24 | 35,7 | 4,1 | 43,7 | 5,1 | 48,7 | 5,6 | 55,2 | 6,4 | 64,6 | 7,5 | 74,3 | 8,6 | 80,7 | 9,3 | 89,0 | 10,3 | 101,0 | 11,7 |
| 2880 | 48 | 43,4 | 2,5 | 53,2 | 3,1 | 59,2 | 3,4 | 67,2 | 3,9 | 78,6 | 4,5 | 90,5 | 5,2 | 98,2 | 5,7 | 108,3 | 6,3 | 122,9 | 7,1 |
| 4320 | 72 | 48,7 | 1,9 | 59,6 | 2,3 | 66,4 | 2,6 | 75,4 | 2,9 | 88,2 | 3,4 | 101,5 | 3,9 | 110,2 | 4,3 | 121,5 | 4,7 | 137,8 | 5,3 |
| 5760 | 96 | 52,8 | 1,5 | 64,7 | 1,9 | 72,1 | 2,1 | 81,8 | 2,4 | 95,7 | 2,8 | 110,1 | 3,2 | 119,5 | 3,5 | 131,8 | 3,8 | 149,5 | 4,3 |
| 7200 | 120 | 56,2 | 1,3 | 68,9 | 1,6 | 76,8 | 1,8 | 87,1 | 2,0 | 101,9 | 2,4 | 117,3 | 2,7 | 127,3 | 2,9 | 140,4 | 3,3 | 159,3 | 3,7 |
| 8640 | 144 | 59,2 | 1,1 | 72,6 | 1,4 | 80,8 | 1,6 | 91,7 | 1,8 | 107,3 | 2,1 | 123,5 | 2,4 | 134,0 | 2,6 | 147,9 | 2,9 | 167,7 | 3,2 |
| 10080 | 168 | 61,9 | 1,0 | 75,8 | 1,3 | 84,4 | 1,4 | 95,8 | 1,6 | 112,1 | 1,9 | 129,0 | 2,1 | 140,0 | 2,3 | 154,5 | 2,6 | 175,2 | 2,9 |

Starkniederschlagshöhen und -spenden gemäß KOSTRA-DWD-2020

Rasterfeld 130116

(Zeile 130, Spalte 116)

Örtliche Unsicherheiten in Abhängigkeit von Wiederkehrzeit T und Dauerstufe D

| Dauerstufe D | | Wiederkehrzeit T | | | | | | | | |
|--------------|-----|------------------|-----|-----|-----|------|------|------|------|-------|
| | | 1 a | 2 a | 3 a | 5 a | 10 a | 20 a | 30 a | 50 a | 100 a |
| min | Std | ± % | ± % | ± % | ± % | ± % | ± % | ± % | ± % | ± % |
| 5 | | 12 | 13 | 14 | 15 | 16 | 17 | 17 | 17 | 18 |
| 10 | | 15 | 17 | 18 | 18 | 20 | 20 | 21 | 21 | 22 |
| 15 | | 16 | 18 | 19 | 20 | 21 | 22 | 22 | 23 | 23 |
| 20 | | 16 | 18 | 19 | 20 | 21 | 22 | 23 | 23 | 24 |
| 30 | | 16 | 18 | 19 | 21 | 22 | 22 | 23 | 23 | 24 |
| 45 | | 16 | 18 | 19 | 20 | 21 | 22 | 23 | 23 | 24 |
| 60 | 1 | 15 | 17 | 18 | 19 | 21 | 22 | 22 | 23 | 23 |
| 90 | 1,5 | 14 | 16 | 17 | 18 | 20 | 20 | 21 | 21 | 22 |
| 120 | 2 | 13 | 15 | 16 | 17 | 19 | 20 | 20 | 21 | 21 |
| 180 | 3 | 12 | 14 | 15 | 16 | 17 | 18 | 19 | 19 | 20 |
| 240 | 4 | 11 | 13 | 14 | 15 | 16 | 17 | 18 | 18 | 19 |
| 360 | 6 | 10 | 12 | 13 | 14 | 15 | 16 | 16 | 17 | 17 |
| 540 | 9 | 9 | 11 | 12 | 13 | 14 | 15 | 15 | 15 | 16 |
| 720 | 12 | 8 | 10 | 11 | 12 | 13 | 14 | 14 | 15 | 15 |
| 1080 | 18 | 8 | 9 | 10 | 11 | 12 | 13 | 13 | 13 | 14 |
| 1440 | 24 | 8 | 9 | 10 | 10 | 11 | 12 | 12 | 13 | 13 |
| 2880 | 48 | 10 | 10 | 10 | 10 | 11 | 11 | 11 | 12 | 12 |
| 4320 | 72 | 11 | 10 | 10 | 11 | 11 | 11 | 11 | 12 | 12 |
| 5760 | 96 | 12 | 11 | 11 | 11 | 11 | 11 | 12 | 12 | 12 |
| 7200 | 120 | 13 | 12 | 12 | 12 | 12 | 12 | 12 | 12 | 12 |
| 8640 | 144 | 14 | 13 | 12 | 12 | 12 | 12 | 12 | 12 | 13 |
| 10080 | 168 | 14 | 13 | 13 | 13 | 13 | 13 | 13 | 13 | 13 |

Parameter für abweichende T und D

Lokationsparameter ξ (Xi)

14,52668939

Skalenparameter α (Alpha)

4,55057639

Formparameter κ (Kappa)

-0,1

1. Koutsoyiannis-Parameter θ (Theta)

0,01774589

2. Koutsoyiannis-Parameter η (Eta)

0,71707125

Parameter für dauerstufenübergreifende Extremwertschätzung nach KOUTSOYIANNIS et al. 1998.

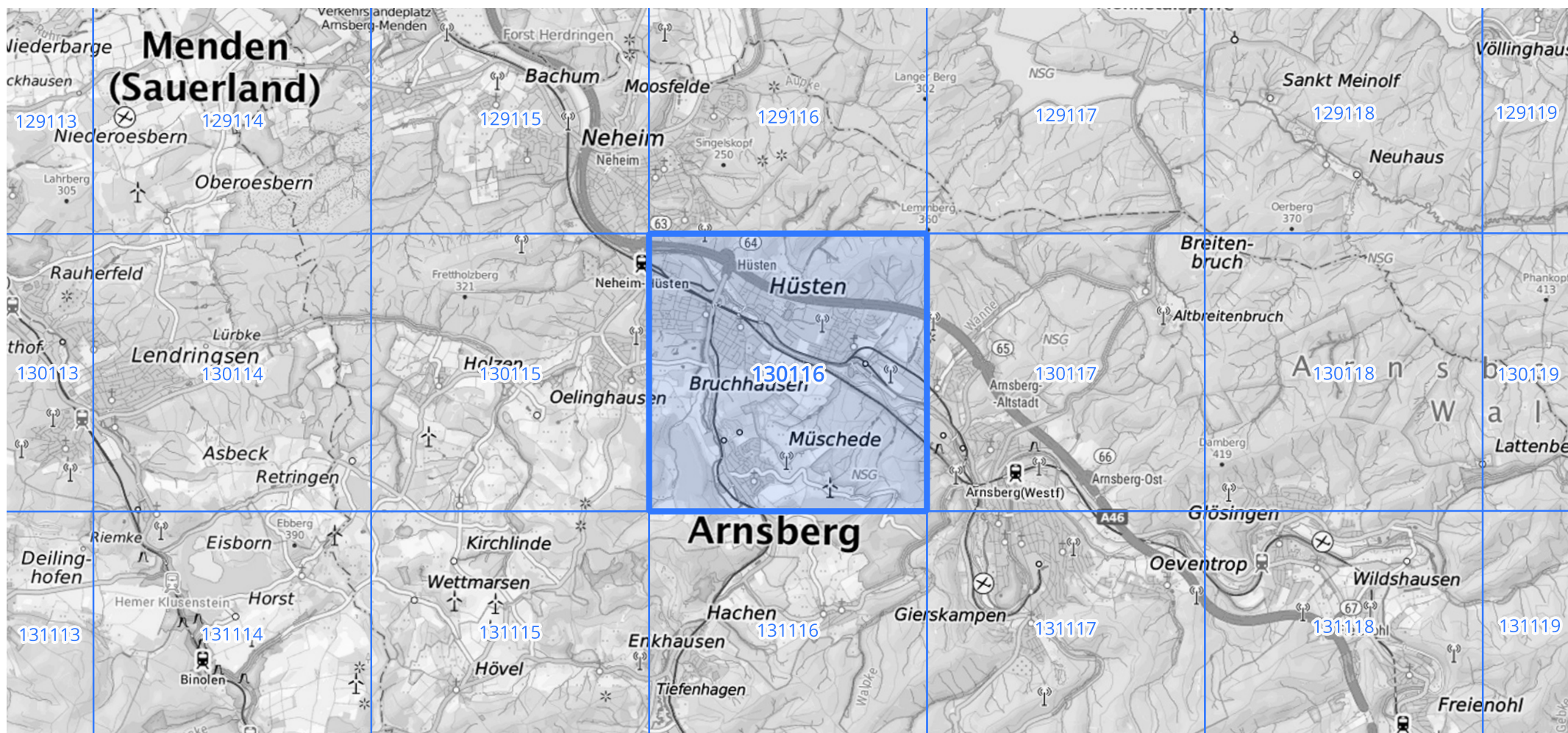
Siehe auch Anwendungshilfe zu KOSTRA-DWD-2020 des Deutschen Wetterdienstes.

Starkniederschlagshöhen und -spenden gemäß KOSTRA-DWD-2020

Rasterfeld 130116

(Zeile 130, Spalte 116)

Übersichtskarte des Rasterfeldes 130116, M 1 : 100 000



Quelle Rasterdaten: KOSTRA-DWD-2020 des Deutschen Wetterdienstes, Stand 12/2022.

Seite 3 von 3

Kartendarstellung: © Bundesamt für Kartographie und Geodäsie (2023), Datenquellen: https://sgx.geodatenzentrum.de/web_public/gdz/datenquellen/Datenquellen_TopPlusOpen.html

Für die Richtigkeit und Aktualität der Angaben wird keine Gewähr übernommen. Erstellt 01/2023.